

**GEF1100 PÅ F/F TRYGVE BRAARUD 10.09.15  
12:00-15:00**



**Pulje F**

## **Deltakere**

### **Mannskap:**

Sindre Holm  
Tom Opsahl

### **Instruktører:**

Åsmund Bakketun  
Ole Henrik Botvar  
Kristian Ingvaldsen

### **Lærer:**

Eyvind Aas

### **Studenter:**

Gruppe 1:      Sigrid S. Olsen  
                  Marie F. Solem

Gruppe 2:      Johan Bakk  
                  Nicholas Jacobsen  
                  Sondre Olsson

Gruppe 3:      Håkon Ringstad  
                  Odd F. Viga

## **STASJONER**

Stasjonene hvor målingene ble foretatt, hadde følgende starttider og posisjoner

12:45 59.8733°N, 10.7375°E (Malmøykalven)  
13:11 59.8658°N, 10.7004°E (Oksvalflua)  
13:45 59.8807°N, 10.6470°E (Geitholmen)

Været var kodet til 1 (delvis skyet), skydekket var 2-6 oktas, og sjøtilstanden var kode 0-1 (havblikk til småkruset sjø). Lufttemperaturen lå på 15.8-16.7 °C, og vinden var 0.9-2.1 m s<sup>-1</sup> (flau til svak vind).

## PROGRAM

På toktet skulle følgende vurderes:

1. Varmebudsjettet for overflatelaget, uttrykt ved transporten av varme ned i havet ved stråling fra sol og himmel, varmetapet fra havet ved netto infrarød varmestråling til atmosfæren, og varmeledningen mellom hav og atmosfære.
2. Varmetransporten ned i havet ved turbulent blanding, uttrykt ved overføring av kinetisk vindenergi til havet, blandingslagets tykkelse, og vertikalstruktur av temperatur, saltholdighet og tetthet.
3. Biologiske effekter av strålingen estimert fra Secchidypet og fra måling av kvanteirradians.

## RESULTATER

### 1. Varmebudsjettet

Transporten av varme gjennom havoverflaten tenker vi er sammensatt av kortbølget stråling  $S$  ( $Q_s$  på skjema under toktet) fra sol og himmel, langbølget infrarød stråling  $F$  ( $Q_b$ ), varmetap  $SH$  ( $Q_h$ ) ved ledning (sensible heat) og varmetap  $LE$  ( $Q_e$ ) ved fordampning (eller tilført varme ved kondensasjon). Til et volum under havoverflaten kan vi også tenke oss varmetilførsel  $\Delta F_o$  ( $Q_v$ ) ved adveksjon. Under vårt septembertokt i Indre Oslofjord kan vi se bort fra  $LE$  ( $Q_e$ ) og  $\Delta F_o$  ( $Q_v$ ). Vårt forenklede totale varmebudsjett blir da

$$Q_{tot} = Q_s + Q_b + Q_h \quad (1)$$

#### Kortbølget stråling $Q_s$

Nedoverrettet kvanteirradians  $Q_q$ , definert som antall lyskvanter pr. flate- og tidsenhet med benevning  $\mu\text{mol m}^{-2} \text{s}^{-1}$ , ble målt på dekk (taket av styrhuset) med et irradiansmeter.

Overflateverdien, dvs. verdien rett *under* overflaten, er luftverdien multiplisert med overflatens transmittans, som her tilnærmet kan settes lik 0.93. De observerte verdier av  $Q_q$  i luft og de beregnede verdier i 0 meter er vist i tabellen nedenfor.

Den innstrålte kortbølgende energifluks  $Q_s$ , angitt i  $\text{W m}^{-2}$ , kan fås av kvanteirradiansen ved å multiplisere med passende empiriske konverteringsfaktorer. For kvanteirradiansen over og rett under overflaten er denne faktoren  $0.5 (\text{W m}^{-2}) / (\mu\text{mol m}^{-2} \text{s}^{-1})$ . Beregnede verdier av energi-irradiansen  $Q_s$  rett under overflaten er presentert i Tabell 1.

Tabell 1

Stasjon	Tid	$Q_q(\text{luft})$ $\mu\text{mol m}^{-2} \text{s}^{-1}$	$Q_q(0)$ $\mu\text{mol m}^{-2} \text{s}^{-1}$	$Q_s(0)$ $\text{W m}^{-2}$
Malmøykalven	1245	840	781	391
Oksvalflua	1310	880	818	409
Geitholmen	1345	757	704	352

På denne ettermiddagen i september var altså mottatt kortbølget stråling av størrelse rundt  $400 \text{ W m}^{-2}$ . Rundt halvparten av dette blir absorbert og går over til varme i den øverste meteren.

### **Langbølget stråling $Q_b$**

Den brutto utstrålte langbølgete energifluks  $Q_b$  fra havoverflaten er gitt ved Stefan-Boltzmanns lov:

$$Q_b = \sigma (T_K)^4 \quad (2)$$

der  $\sigma$  er Stefan-Boltzmannkonstanten  $5.67 \cdot 10^{-8} \text{ W m}^{-2} \text{ K}^4$ , og  $T_K$  er grader Kelvin. Ut fra dette er det mulig å beregne, ved hjelp av overflatetemperaturen, hvor mange watt som tapes brutto fra en kvadratmeter vannoverflate. Problemet er at en lignende effekt mottas fra atmosfæren. En empirisk (og dermed tilnærmet) formel for *netto mottatt* infrarød stråling til havoverflaten er

$$Q_b \approx -(143 - 0.9 t_w - 0.46 e_a)(1 - 0.1 C) [W \text{ m}^{-2}] \quad (3)$$

der  $t_w$  er overflatetemperatur målt i  $^{\circ}\text{C}$ ,  $e_a$  er luftas relative luftfuktighet målt i %, og  $C$  er skydekket målt i oktas (1/8-deler). Vanligvis blir  $Q_b$  negativ og representerer et *tap*. For de forskjellige klokkeslett på dette toktet blir netto  $Q_b$  i  $\text{W m}^{-2}$  som vist i Tabell 2.

**Tabell 2**

Tid	$t_w$ ( $^{\circ}\text{C}$ )	$t_a$ ( $^{\circ}\text{C}$ )	$e_a$ (%)	$C$ (oktas)	$V$ ( $\text{m s}^{-1}$ )	$Q_s$ ( $\text{W m}^{-2}$ )	$Q_b$ ( $\text{W m}^{-2}$ )	$Q_h$ ( $\text{W m}^{-2}$ )	$Q_{tot}$ ( $\text{W m}^{-2}$ )
1300	17.1	16.6	56	3	0.9	391	-71.3	-0.8	318
1320	17.1	16.7	53	2	1.3	409	-82.6	-1.0	326
1348	17.2	15.8	68	6	2.1	352	-38.5	-5.5	308

### **Varmeledning $Q_h$**

Det er rimeligvis slik at jo varmere havet er i forhold til atmosfæren, jo mer varme vil ledes oppover fra havet. Det er også rimelig å anta at jo mere vind det er, jo lettere vil denne varmen fraktes bort. En empirisk formel for varmeledning  $Q_h$  er

$$Q_h \approx -1.88 V (t_w - t_a) [W \text{ m}^{-2}] \quad (4)$$

der  $V$  er vindhastighet i  $\text{m s}^{-1}$ ,  $t_w$  er overflatetemperatur i  $^{\circ}\text{C}$ , og  $t_a$  er lufttemperatur i  $^{\circ}\text{C}$ . Hvis  $t_w > t_a$  vil  $Q_h$  bli negativ og representerere et tap. Resultatene for dette toktet er vist i Tabell 2 ovenfor.

### **Det totale varmebudsjetten uttrykt ved $Q_{tot}$**

Tabell 2 viser at på måletidspunktene får summen  $Q_{tot}$  gitt ved (1) verdier mellom 308 og 326  $\text{W m}^{-2}$ . Et viktig punkt for varmebudsjetten er imidlertid at den målte verdien av  $Q_s$  ikke varer

hele døgnet, men at døgnintegralet av  $Q_s$  i september bare tilsvarer ca. 4 timer timer med verdien av  $Q_s$ , ca.  $380 \text{ W m}^{-2}$ . Leddene  $Q_b$  og  $Q_h$  vil derimot forandres mindre i løpet av døgnets 24 timer, og kan i vårt tilfelle antas konstante med sum tilnærmet lik  $-65 \text{ W m}^{-2}$ . Bruker vi dette, så blir tapt energi fra 1 kvadratmeter ca.  $-144 \text{ kJ}$  for et døgn. Videre kan vi anslå den spesifikke varmekapasiteten for overflatevannet i Oslofjorden ( $S \approx 20$ ) til ca.  $4200 \text{ J kg}^{-1} \text{ K}^{-1}$ . Hvis vi videre, som et tankeeksperiment, antar at all varmen tas fra den øverste meteren, og vi videre antar at denne kubikkmeteren har masse 1000 kg, kan vi anslå temperaturendringen  $\Delta T$  ut fra

$$(4200 \text{ J kg}^{-1} \text{ K}^{-1}) \cdot (1000 \text{ kg}) \cdot \Delta T = -144 \text{ kJ} \quad (5)$$

som gir at  $\Delta T$  blir ca.  $-0.03 \text{ }^{\circ}\text{C}$ . I dette eksempelet kunne altså temperaturen i den øverste meteren forbli tilnærmet uforandret over et døgn.

## 2. Turbulent varmetransport fra overflaten ned i havet

Vind, strøm og bølger vil kunne skape en viss omrøring i overflatelaget og derved bidra til en turbulent transport av varme enten oppover eller nedover. Det er også slik at tetthetsgradienten og tykkelsen av overgangslaget mellom det øvre blandingslaget og de dypere vannmassene vil påvirke hvor lett det er å få til en blanding nedover. Denne overgangen kalles også for sprangsjiktet, og for separate vurderinger av temperatur, saltholdighet og tetthet kalles overgangen for en termoklin, haloklin og pyknoklin. Her skal vi se på overføring av kinetisk vindenergi til fjordvannet, samt tykkelsen av blandingslaget og sprangsjiktet.

### *Overføring av kinetisk vindenergi*

Overføringen av kinetisk energi fra vinden til havet kan beskrives av uttrykket

$$Q_{kin} = \rho_{air} c V^3, \quad (6)$$

der  $\rho_{air}$  er luftens tetthet,  $c$  er en friksjonskoeffisient (drag coefficient) og  $V$  er vindhastigheten. Vi kan tilnærmet anslå  $\rho_{air} \approx 1.3 \text{ kg m}^{-3}$  og  $c \approx 1 \cdot 10^{-3}$ . Benevningen for  $Q_{kin}$  blir  $\text{W m}^{-2}$ .

Verdier for  $Q_{kin}$  på de forskjellige klokkeslett ut fra observert  $V$  er gitt i Tabell 3.

**Tabell 3**

Tid	$V$ ( $\text{m s}^{-1}$ )	$Q_{kin}$ ( $\text{W m}^{-2}$ )
1300	0.9	0.001
1320	1.3	0.003
1348	2.1	0.012

Vi ser at ved de vindstyrkene vi hadde, dvs.  $0.9\text{-}2.1 \text{ m s}^{-1}$ , så blir dette ledet ubetydelig i forhold til varmeleddene. Hvis vi derimot hadde hatt en vindstyrke rundt  $10 \text{ m s}^{-1}$  (frisk bris til liten kuling) eller rundt  $20 \text{ m s}^{-1}$  (sterk kuling til liten storm), så vil  $Q_{kin}$  få verdier i intervallet  $1\text{-}10 \text{ W m}^{-2}$ , og døgnintegralet av dette blir av samme størrelsesorden som de andre døgnintegralene.

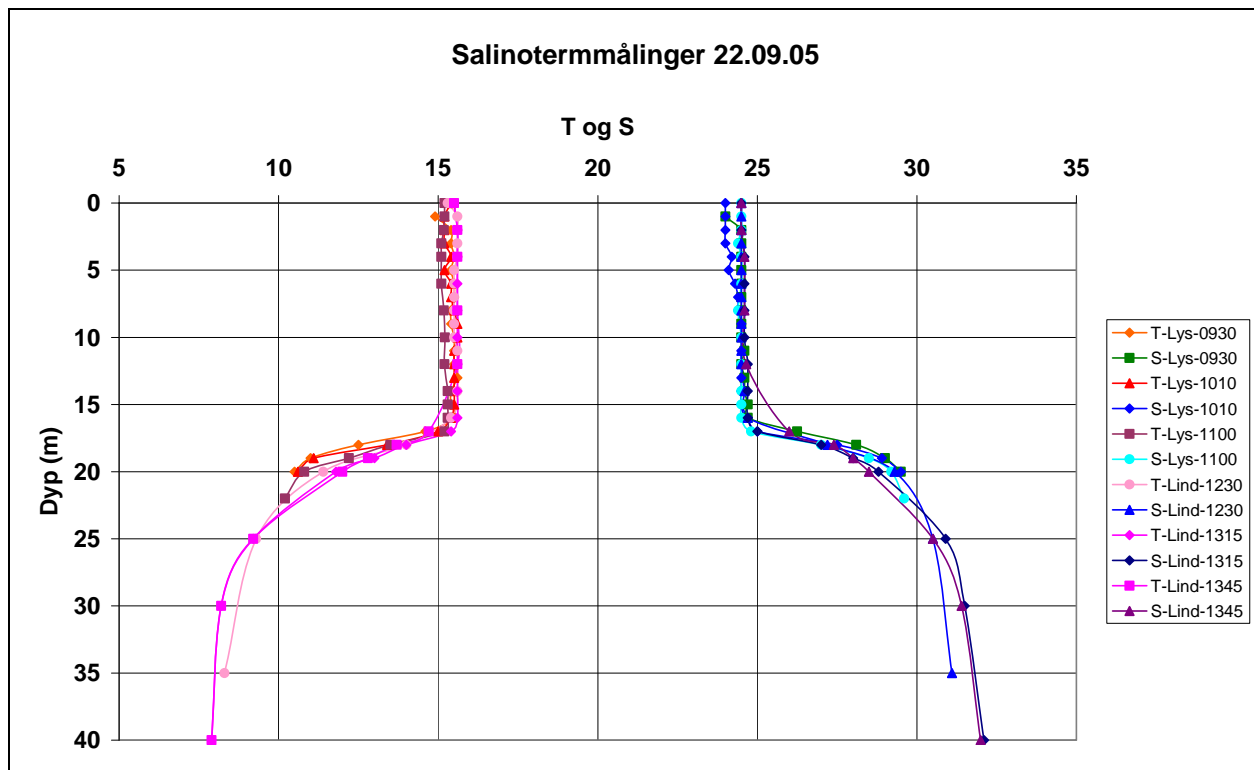
## **Det øvre blandingslaget og sprangsjiktet**

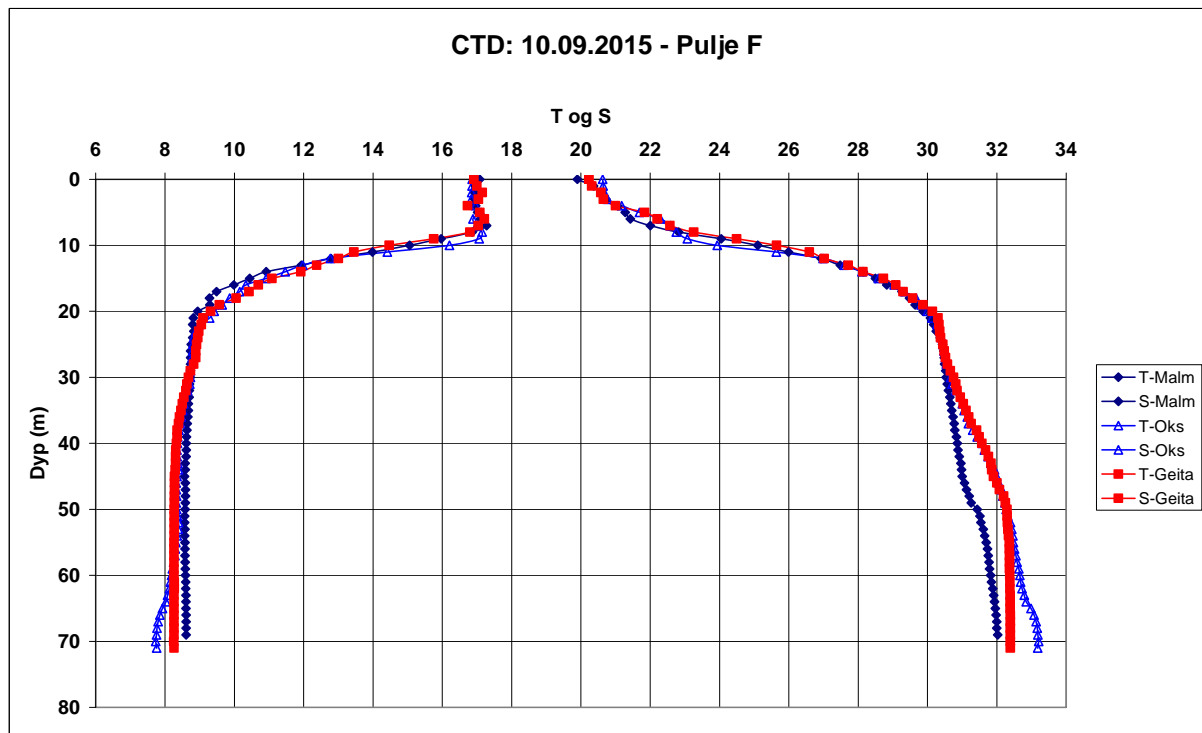
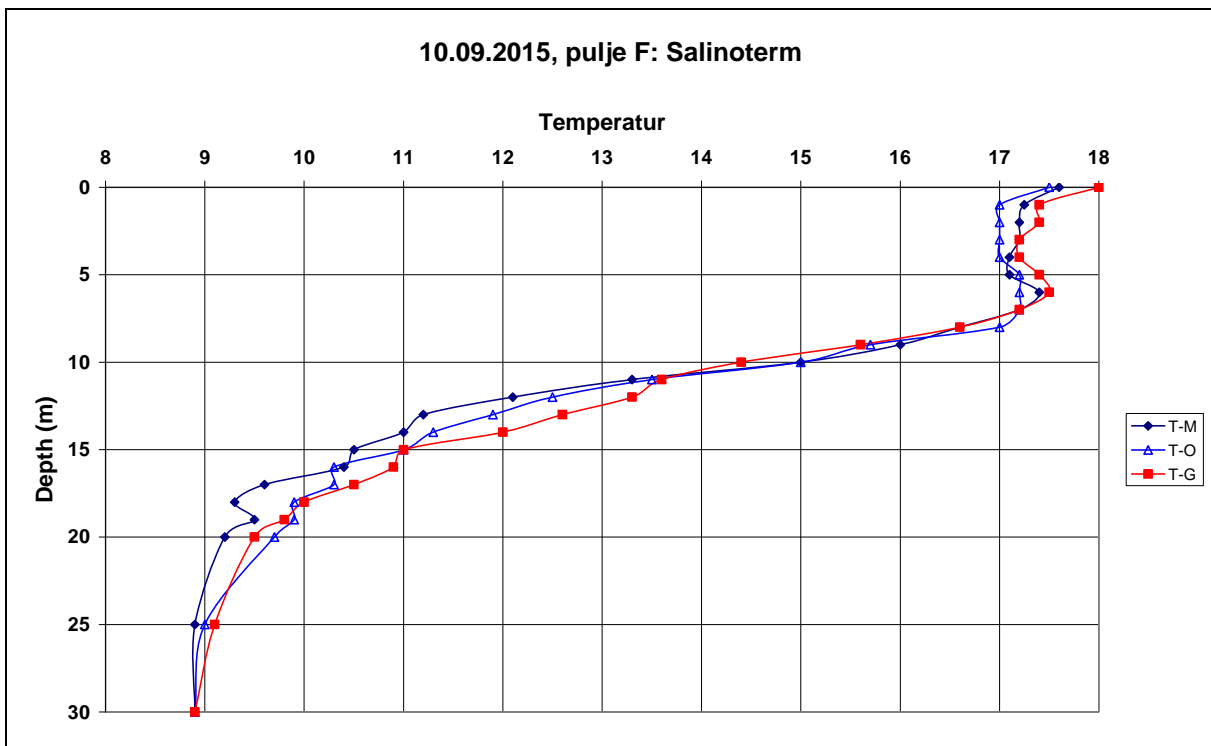
De forskjellige målinger med salinoterm er vist nedenfor. Ser vi på tilstanden i september 2005 var det øvre blandingslaget svært homogent, med en tykkelse på hele 17 m, sannsynligvis etter en periode med kraftig vindblanding. I år brøt saltsensoren på salinotermen sammen, men vi ser at temperaturen avtar jevnt og kraftig fra 9-10 m ned til 20 meters dyp. Vi har altså et ikke helt perfekt øvre blandingslag ned til ca. 10 m., og så et sprangsjikt som strekker seg ned til 20 m. Dette blir mer tydelig når vi ser på CTD-målingene.

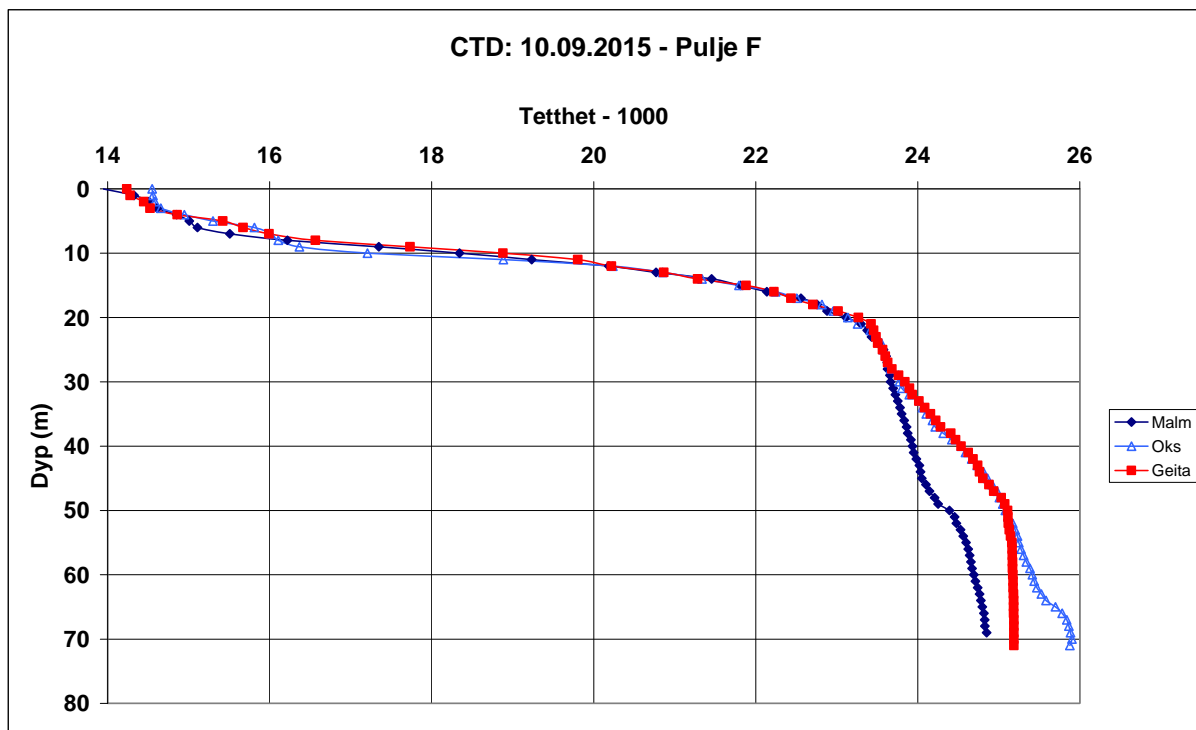
CTD-sonden (conductivity-temperature-depth) er et langt mer nøyaktig og raskere instrument enn salinotermen. Dypet blir ikke målt direkte, men beregnes ut fra trykket. Den elektriske ledningsevnen eller konduktiviteten er en funksjon av saltholdighet, temperatur og trykk, og når de to sistnevnte variablene er kjent, kan saltholdigheten beregnes ut fra målt konduktivitet. Av saltholdighet  $S$ , temperatur  $T$  og trykk  $p$  kan så tettheten  $\rho(S,T,p)$  beregnes. Ettersom tettheten av sjøvann alltid er et tall nær  $1000 \text{ kg m}^{-3}$ , kan det ofte være praktisk å trekke fra 1000-tallet for å få færre siffer. Software-programmet for CTD -sonden gir oss  $\sigma_t$ , som er tettheten ved overflatetrykk minus 1000, dvs.

$$\sigma_t = \rho(S,T,0) - 1000$$

De vertikale temperatur- og saltprofilene med CTD bekrefter resultatet fra salinotermen.







### 3. Biologiske effekter

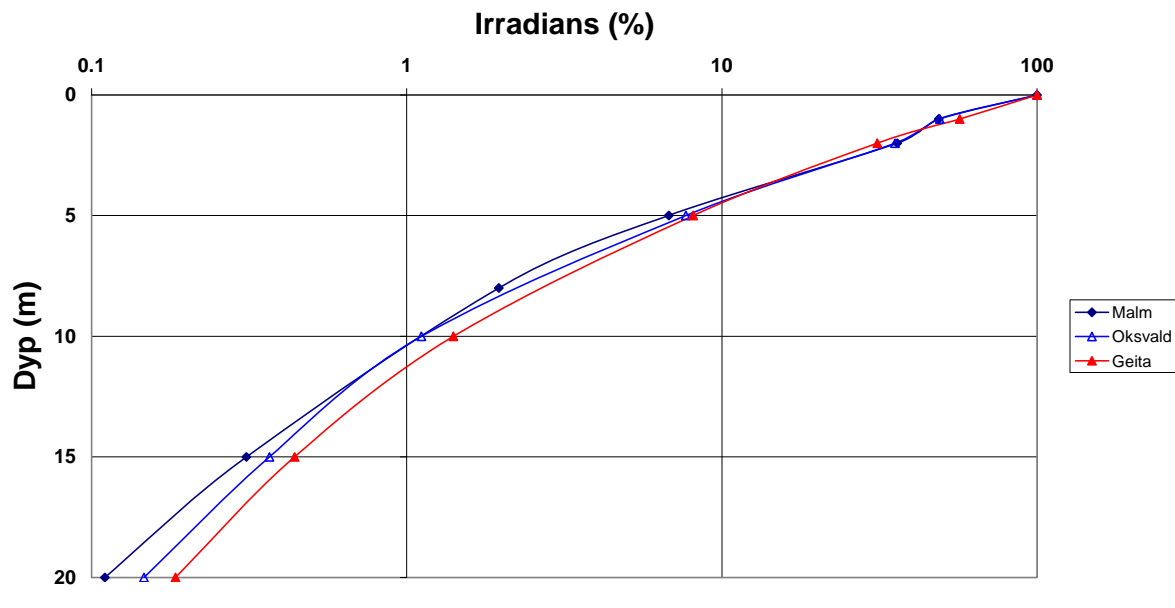
Det er slik at netto fotosyntese/primærproduksjon ofte antas å skje ned til det nivå  $Z(1\%)$  der kvanteirradiansen er redusert til 1% av overflateverdien. Dette området kalles den *eufotiske sone* (eufotisk= godt med lys). Det er lettere å måle Secchi-dypet  $D$  med en hvit skive enn 1%-dypet med et irradiansmeter, og en tommelfingerregel basert på statistikk sier at om sommeren vil 10%-dypet ligge nær  $D$ , og 1%-dypet rundt  $2D$  i Oslofjorden. Ser vi på Tabell 4 finner vi at tykkelsen av den eufotiske sonen blir på rundt 10 m på ettermiddagen den 9. september. Om sommeren inneholder vannet i fjorden langt mer plankton og blir derfor mer grumset.  $Z(1\%)$  blir da vesentlig mindre.

**Tabell 4**

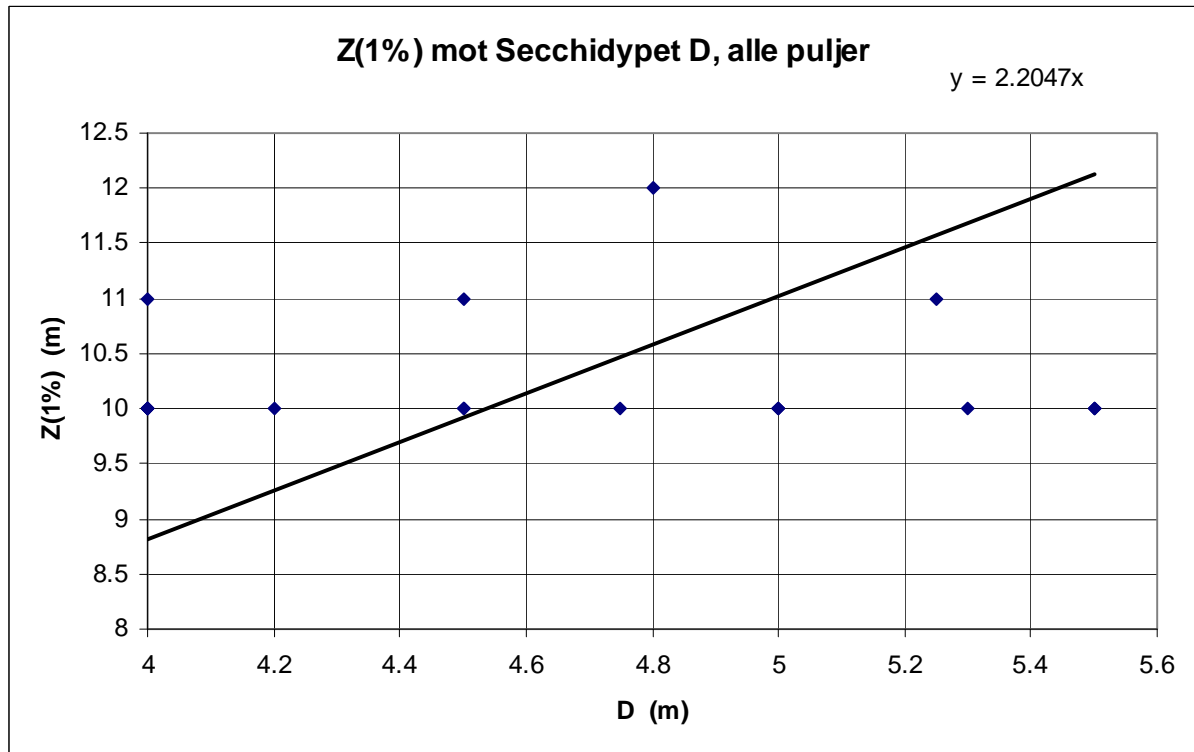
Tid	$D$ (m)	$Z(1\%)$ (m)	$Z(1\%)/D$
1245	4.0	10	2.5
1310	4.75	10	2.1
1345	5.25	11	2.1

Hvis dypet  $D$  tilsvarer 10 % av kvanteirradiansen, vil det erfaringmessig tilsvare 5 % av energi-irradiansen. Ut fra Secchi-dypet kan vi derfor også anslå at ca. 95 % av den kortbølgede strålingen blir absorbert i de øverste 5 metrene på denne dagen.

## Kvanteirradians 10.09.2015: Pulje F



De samlede resultater for alle puljer,  $Z(1\%)$  mot  $D$ , er vist nedenfor.



## **Referanse**

De empiriske ligningene (3) og (4) er tatt fra Pickard & Emery: "Descriptive Physical Oceanography. 5th ed."